

电阻率测深“反射系数” q_n 的计算及其应用

左海燕 陈丽英

(地质矿产部北京计算中心)

在均匀水平层状介质中, 视电阻率 $\rho_s(r)$ 可以表示成如下的级数形式^[1]。

$$\rho_s(r) = \rho_1 \left\{ 1 + 2 \sum_{n=1}^{\infty} q_n \frac{1}{[1 + (2nh_0/r)^2]^{\beta/2}} \right\} \quad (1)$$

式中 r 为电极距, h_0 为各层厚度的最大公约数, q_n 称为“反射系数”。当(1)式中 h_0 和 n 选择适当时, 可以得到较精确的 ρ_s 理论曲线。

众所周知, 电阻率测深公式中转换函数 $T(\lambda)$ 可用级数形式表示, 也可用简单的递推公式计算得出。然而, $T \leftrightarrow \rho$ 之间的转换却要用近似积分或离散的汉克尔变换来实现, 公式复杂, 计算量大。不过, 在七十年代以前, 即在柯福依德、格霍什等人提出用线性滤波方法计算 ρ_s 曲线之前, 一直是用(1)式来计算 ρ_s 理论曲线。在层数较少的情况下, 用 q_n 计算 ρ_s 曲线还比较方便。如果层数多, q_n 公式的推导有困难, 计算要花费大量时间。所以, 自格霍什等人的线性滤波以及快速汉克尔变换等算法推广以后, 对 q_n 的计算已几乎再无人问津。

本文的目的在于提出两种直接或间接计算 q_n 的简便且较快速的新方法, 供使用者参考, 同时还提出, 利用所计算的 q_n 不但可以得到 ρ_s (或 T)的标准曲线, 而且还有希望通过直接对反射系数 q_n 的解释, 得到有关地电断面的有益信息。

计算“反射系数” q_n 的两种方法

方法(一) 直线计算 q_n 的递归滤波法

以往计算 q_n 一般是用级数展开法推导 q_n 的表达式, 对最简单的二层模型而言, q_n 公式为:

$$q_n = K_1^{-n}, \quad (K_1 = \frac{\rho_2 - \rho_1}{\rho_2 + \rho_1}) \quad (2)$$

但三层以上模型的展开式, 推导起来都很复杂, 而且重复计算工作量较大。这里, 我们应用递归滤波原理来计算 q_n 。为简便起见, 直接引入一般的递归滤波公式^[2]如下,

$$y_t = (a_0 x_t + a_1 x_{t-1} + \dots + a_n x_{t-n}) - (b_1 y_{t-1} + b_2 y_{t-2} + \dots + b_m y_{t-m}) \quad (3)$$

式中 x_t 为输入信号, y_t 为输出信号。由上式可以看出, 每计算一个 y_t 值都要用到以前已计算出的结果 y_{t-1}, y_{t-2}, \dots , 其运算是一种递推关系, 因此可以节省很多计算工作量。

对于电阻率测深, 我们不但知道转换函数 $T(\lambda)$ 的级数表达式, 还知道 $T(\lambda)$ 与斯忒藩纳斯库核函数 $B_1(\lambda)$ 有如下形式联系:

$$\begin{aligned} T_1(\lambda) &= \rho_1 [1 + 2 B_1(\lambda)] \\ &= \rho_1 + \sum_{n=1}^{\infty} q_n \exp(-nh_0 \lambda) \end{aligned} \quad (4)$$

并且知道 $B_1(\lambda)$ 的递推公式^[3]为:

$$B_1(\lambda) = \frac{R_1(\lambda) \exp(-2\lambda h_1)}{1 - R_1(\lambda) \exp(-2\lambda h_1)}$$

$$R_i = \frac{K_i + R_{i+1} \exp(-2\lambda h_{i+1})}{1 + K_i R_{i+1} \exp(-2\lambda h_{i+1})} \quad (5)$$

$$R_{N-1} = \frac{\rho_N - \rho_{N-1}}{\rho_N + \rho_{N-1}}$$

$$K_i = \frac{\rho_{i+1} - \rho_i}{\rho_{i+1} + \rho_i}, \quad i = 1, 2, \dots, N-1。$$

式中, h_i 为第 i 层的厚度, $\lambda = 1/r$ 。

利用上面的递推公式, 经归纳整理, 我们可以得到 n 层模型的斯式藩纳斯库核函数的一般通式。

$$B_1(\lambda) = u_1 / (D_1 - u_1) \quad (6)$$

$$u_1 = A_1 + A_3 + A_5 + \dots + A_{2n-1}$$

$$D_1 = 1 + A_2 + A_4 + \dots + A_{2n}$$

$$A_1 = \sum_{l=1}^{n-1} K_l e^{-2\lambda \tau_l^1}, \quad \tau_l^1 = \sum_{m=1}^l h_m;$$

$$A_2 = \sum_{i=1}^{n-1} K_i \left(\sum_{j=1}^{n-1-i} K_{i+j} \right) e^{-2\lambda \tau_{i+j}^2}, \quad \tau_{i+j}^2 = \sum_{m=1}^{i+j} h_m - \tau_i^1;$$

$$A_3 = \sum_{i=1}^{n-1} K_i \left(\sum_{j=1}^{n-1-i} K_{i+j} \left(\sum_{k=1}^{n-1-i-j} K_{i+j+k} \right) \right) e^{-2\lambda \tau_{i+j+k}^3}$$

$$\tau_{i+j+k}^3 = \sum_{m=1}^{i+j+k} h_m - \tau_{i+j}^2;$$

.....

$$A_n = \sum_{l=1}^{n-1} K_l \left(\sum_{j=1}^{n-1-l} K_{i+j} \left(\sum_{k=1}^{n-1-l-j} K_{i+j+k} \dots \left(\sum_{l=1}^{n-1-l-j-k-\dots} K_{i+j+k+l+\dots} \right) \right) \right) e^{-2\lambda \tau_{i+j+k+l+\dots}^n}$$

$$\tau_{i+j+k+l+\dots}^n = \sum_{m=1}^{i+j+k+l+\dots} h_m - \tau_{i+k+j+l+\dots}^{n-1} \quad (7)$$

余此类推。这里我们可以将 $B_1(\lambda)$ 看作为某种响应函数, 而反射系数 q_n 则是 $B_1(\lambda)$ 的离散采样 (见 (4) 式)。根据递归滤波原理, 当输入信号为 $\delta(t)$ 函数时, 按式 (3) 可以计算响应函数 q_i , 如下:

$$q_i = A_1 \delta_{i-1} + A_3 \delta_{i-3} + \dots - (A_2 q_{i-2} + A_4 q_{i-4} + \dots + A_1 q_{i-1} - A_3 q_{i-3} - \dots) \quad (8)$$

显然, 从上式我们可以很容易地写出三层 ($n = 3$) 和四层 ($n = 4$) 模型的 q_n 递归表达式。三层模型 q_i 的递归公式为:

$$q_i = K_1 \delta_{i-h_1} + K_2 \delta_{i-(h_1+h_2)} - (K_1 K_2 q_{i-h_2} - K_1 q_{i-h_1} - K_2 q_{i-(h_1+h_2)}) \quad (9)$$

四层模型 q_i 的递归公式为:

$$q_i = K_1 \delta_{i-h_1} + K_2 \delta_{i-(h_1+h_2)} + K_3 \delta_{i-(h_1+h_2+h_3)} + K_1 K_2 K_3 \delta_{i-(h_1+h_3)} - (K_1 K_2 q_{i-h_2} + K_2 K_3 q_{i-h_3} + K_1 K_3 q_{i-(h_2+h_3)} - K_1 q_{i-h_1} - K_2 q_{i-(h_1+h_2)} - K_3 q_{i-(h_1+h_2+h_3)} - K_1 K_2 K_3 q_{i-(h_1+h_3)}) \quad (10)$$

方法 (二) 间接计算 q_n 的最小二乘法

我们知道, 电阻率转换函数 $T(\rho_i, h_i, \lambda)$ 还有如下形式的递推公式:

$$T_i(\lambda) = \frac{T_{i+1}(\lambda) + \rho_i \tanh(h_i \lambda)}{1 + T_{i+1}(\lambda) \rho_i^{-1} \tanh(h_i \lambda)} \quad (11)$$

上式计算从最后第 n 层开始, 且 $T_n(\lambda) = \rho_n$ 。

此外, n 层电阻率转换函数 $T(\lambda)$ 也可以展开为类似 (4) 式的级数形式。假定 $T(\lambda)$ 采样的 K 个坐标 λ_j , 以及达到精度的级数展开项数 m 均已确定, 我们希望通过最小二乘准则

$$\sum_{j=1}^k [T_m(\lambda_j) - T_1(\lambda_j)]^2 = \min \quad (12)$$

$$\text{或 } \Phi = \sum_{j=1}^k [\rho_1 + \sum_{i=1}^m q_i \exp(-ih_0\lambda) - T_1(\lambda_j)]^2 = \min \quad (13)$$

来确定逼近由递推公式 (11) 所计算的理论 $T_1(\lambda_j)$ 函数中的 q_n 。对上式中 q_i 求导, 将得到一个有 m 个未知数, $m \times m$ 的线性方程组:

$$\left. \begin{aligned} q_1 a_{11} + q_2 a_{12} + \dots + q_m a_{1m} &= b_1 \\ q_1 a_{12} + q_2 a_{22} + \dots + q_m a_{2m} &= b_2 \\ \dots & \\ q_1 a_{1m} + q_2 a_{2m} + \dots + q_m a_{mm} &= b_m \end{aligned} \right\} \quad (14)$$

上式中,

$$\begin{aligned} a_{ij} &= \sum_{j=1}^k \exp[-(i+j)h_0\lambda_j], \\ b_i &= \sum_{j=1}^k [T_1(\lambda_j) - \rho_1] \exp(-ih_0\lambda_j). \end{aligned} \quad (15)$$

通过解对称线性方程组 (14), 可以得到一组 q_n 的值 ($n = 1, 2, \dots, m$)。显然, 此法也适用于 ρ , 曲线为已知, 而需求 $T(\lambda)$ 时的情况。这时有:

$$\Phi = \sum_{j=1}^k [\rho_1 + 2\rho_1 + \sum_{n=1}^m q_n \frac{1}{[1 + (2nh_0/r_j)^2]^{3/2}} - \rho_s(r_j)] \quad (16)$$

以同样的方法可计算出 q_n , 再代入 (4) 式即可求出理论的 $T(\lambda)$ 曲线。

“反射系数” q_n 的实际应用

(一) 以往人们计算 q_n 的目的不过是为了正演计算标准 ρ , 或 T 曲线而已。当给定模型层数 n , 各个

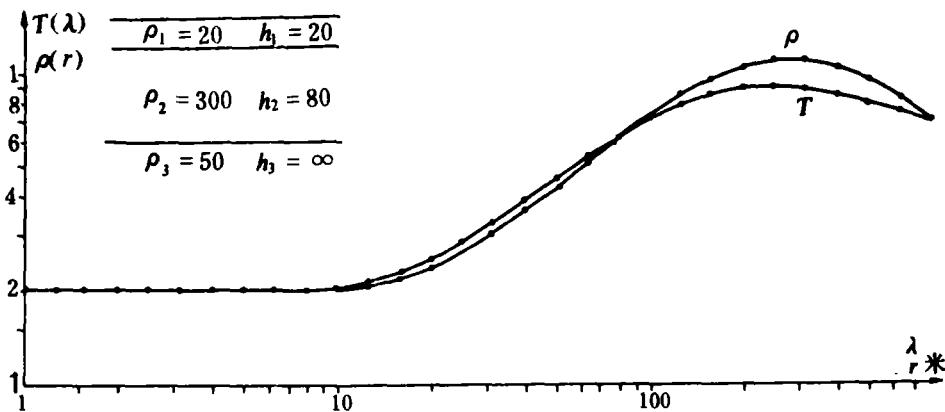


图1 用滤波系数和 q_n 计算的三层模型的 ρ 和 T 曲线

图中实线是用滤波系数计算的 ρ , T 曲线; 圈和点是用 q_n 计算的 ρ , 和 T 的值, $\rho(r)$ 的单位是欧姆米; r 的单位是米; $T(\lambda)$ 无单位; λ 的单位是米⁻¹; h 的单位是米; (下同)

层的电阻率 ρ_i 和厚度 h_i 后,利用递归公式(8)可以逐次计算出理论 q_n 值,将这些 q_n 值代入公式(1)和(4),则可以一次性地分别计算出 T 和 ρ_s 曲线。

我们对三层和四层理论模型做过计算实验,与用格霍什滤波系数的方法相比,计算时间相差不了几秒(2—3秒, M—160II机),而精度则随级数项 m 的增加而提高。图1为对同一模型用滤波系数方法和理论 q_n 计算方法算得的 ρ_s 曲线和 T 曲线,两种方法所得的结果几乎完全相符(最大误差小于2%)。

(二) 在 $T(\lambda)$ 曲线为已知或对于有实测的 ρ_s 曲线的情况下,当我们想得到 $T \leftrightarrow \rho$ 之间的转换时,用第二种方法也可以实现。尽管由于最小二乘法的解并不是唯一的,用该法所得到的 q_n^* 虽不是真正理论的 q_n ,但这种 q_n^* 无疑也能满足 $T \leftrightarrow \rho$ 之间的转换关系,并可得到令人满意的精度。图2中表示的是用理论公式(11)计算的 T 曲线和用格霍什系数计算的 ρ_s 曲线,以及分别用最小二乘法计算的 q_n^* 所得到的 T 和 ρ 曲线(其最大误差小于3%)。

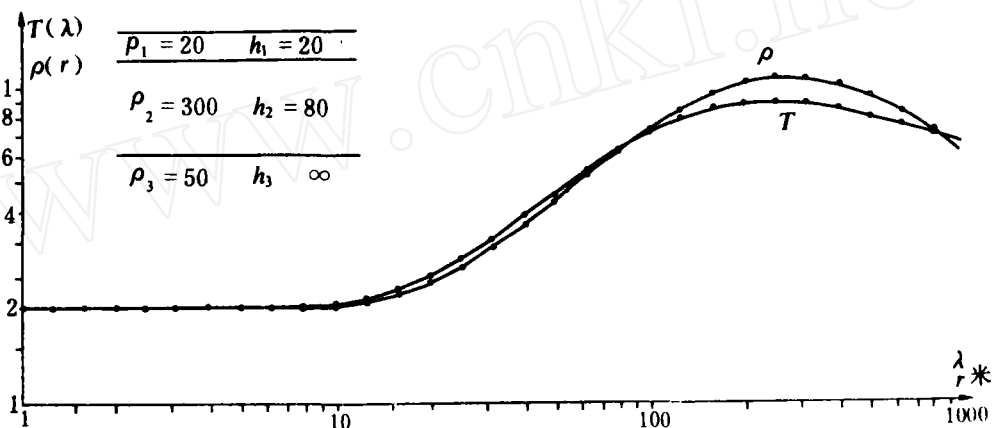


图2 理论的与用最小二乘法计算的 ρ , T 曲线

图中曲线为理论的 ρ , T 曲线; 圈和点是用最小二乘法计算得的 ρ , 和 T 的值(各量的单位同图1)

(三) 上述利用 q_n 计算 ρ , T 曲线和进行 $\rho \leftrightarrow T$ 转换的另一个主要目的,是为了在参数化反演的迭代过程中进行快速准确的反演计算。但是否可以直接利用反射系数 q_n 来了解有关地电断面的信息呢? 目前国内外不少人正致力于这方面的研究。如库涅茨、马特维耶夫等人,就企图利用所求出的 q_n 值的集合,推求层状介质的有关参数 h_i , ρ_i 。但由于对实测曲线来说,得到与地电断面有关的较理想的 q_n 解并不是轻而易举的,故利用这些 q_n 再推算 h_i , ρ_i 更为困难,尚待更进一步的工作。武汉地质学院的王家映同志,将反射系数 q_n 与地震波的反射记录进行了类比,并提出了“拟地震”的反演

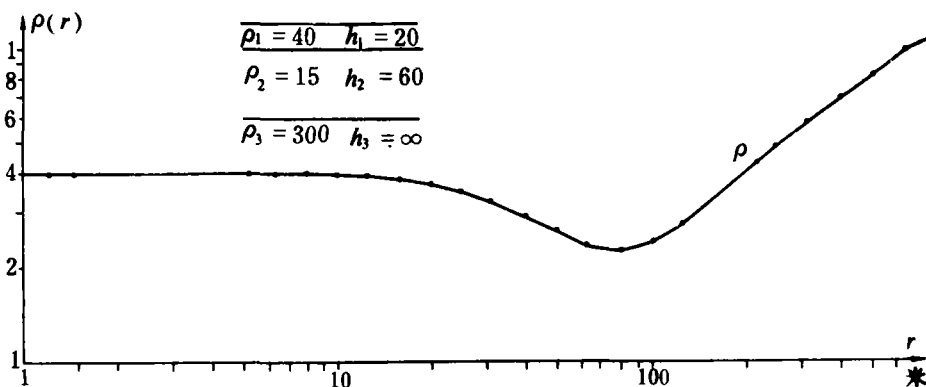


图3 a 三层理论模型及其 ρ , 理论曲线

解释方法。该方法在大地电磁和直流电测深反演计算中均取得了初步成果。该方法不用设计初始模型，不用反复迭代，解也比较直观形象。图 3 a 为三层理论模型及其 ρ 理论曲线，图 (3 b) 是用拟地震反演法得到的 q_n^* 反射系数图。图中 q_n^* 显示出界面一次反射的位置和极性强度等，并给出了地电断面层位的明确标志以及电阻率的有关情况。

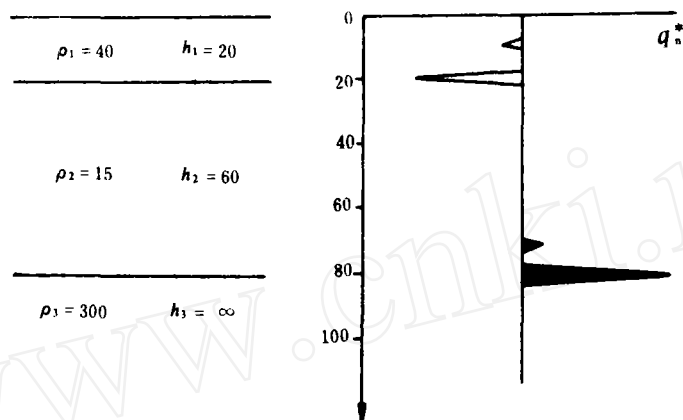


图 3 b 用拟地震反演得到的结果

(因 $K_1 = \frac{\rho_2 - \rho_1}{\rho_2 + \rho_1}$ ，当 $\rho_2 > \rho_1$ 时， q_n^* 为正，反之为负， K_2 为同样情况。所以经过拟地震反演后将得到类似图 3 b 的 q_n^* 随深度变化图。) 这种表示显然更直观形象，可以从图中根据反演得到的 q_n^* 的位置、极性、大小来直接了解地下有关电性层的位置和电阻率信息。为电测深资料的推断解释提供十分有益的帮助。当然这类方法目前仍在研究阶段，不过我们确信，它的应用必将为电测深的解释开辟更广阔的发展前景。

本文曾得到王家映同志的热情帮助，在此表示感谢。

参 考 文 献

- [1] B. K. 马特继耶夫：《电磁测深解释》北京，煤炭工业出版社，1978年
- [2] 何樵登等编：《地震勘探——原理和方法》，北京，地质出版社
- [3] 陈仲候、何昌礼：地球物理学报，第23卷，第1期，1980
- [4] Santni, R. S., et al : Geoeexploration, 1983, Vol. 21,

热释CO₂找矿方法的初步研究

张 美 娣

(有色金属工业总公司矿产地质研究院)

概 况

(一) 研究目的

近几年来，国外有关资料报道了用热释 CO₂ 寻找隐伏的有色金属矿床的方法。CO₂ 气体普查方法，是在现场直接抽取壤中气，然后用色谱仪直接测定，

圈出控制内生金属矿化的可渗透性断裂构造上方的气体分散晕，从而指导找矿，效果是比较明显的。

自1982年起，我们先后在水口山、张埭、栖霞山、凡口等已知不同类型的矿床上，对土壤和岩石热释 CO₂ 这一找矿方法作了探索性试验研究。在四种不同类型的矿床上，作了6个土壤剖面、一个钻孔岩石